

早稲田大学理工学部 正員 遠藤 郁夫
 学生員 〇井上 芳郎

1. 緒論

回転浮床法は、西欧を始め、ヨーロッパ各地の小規模処理場で、また活性汚泥法の前処理として利用されている。この方法は一般的に、一枚又は多数の回転板を軸のまわりに回転させる方法である。本実験は「金網籠」の中に中空浮床を入水、浮床体を軸のまわりに回転させる方法である。その特徴は、浮床表面積が大きく、高いBOD除去率と得ることができ、また、浮床の自浄作用(self-cleaning)が可能で、生物膜肥厚による浮床の閉塞が避けられるなどである。本報告は、回転浮床体の浄化機構と生物膜面に働かせる剪断力と生物膜の厚さについて、検討のしようとする基礎的研究である。

2. 実験装置および実験方法

回転浮床体は、半径0.4m、長さ0.5mの金網籠で、浮床は直径21cm、長さ10cmの塩化管を用い、浮床表面積は23.2㎡、浮床比表面積は92.4㎡/m³である。図-1は実験装置である。浮床体回転数は5.39r.p.m、および受槽の体積は0.166m³であった。流入水としては、処理済みの水(BOD約600ppm)を6倍に希釈して連続的に投入した。流量は240L/day、124L/dayでそれぞれBOD負荷は0.844kg/m³day、0.466kg/m³dayであった。

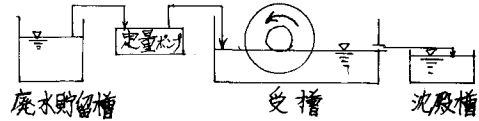


図-1. 実験装置の概略図

3. 実験結果と考察

実験結果を表-1に示した。滞留曝露は表-2に示した様に、受槽内には2ppm以上の滞留酸素があり、好気性条件は満足されていると云える。図-2よりBOD負荷約1kg/m³day(10g/m³day)前後で、BOD除去率が90%が得られた。COD(K₁Q)では50~60%であった。BOD負荷とBOD除去率、流出水BODの間には、実験範囲においては直線関係がえられ、それは次式のように示した。BOD負荷0.4~1.0kg/m³dayでは、

$$L_e = 36L + 94$$

$$W = -7L + 93$$

L_e : 流出水BOD (ppm)

L : BOD負荷 (kg/m³day)

W : BOD除去率 (%)

BOD除去率と接触時間との関係は、一次反応として次式が成り立つと云える。

$$\frac{L_e}{L_0} = e^{-Kt}$$

L_e : 流出水BOD (ppm)

K : 定数

t : 接触時間 (hr)

今、接触時間を滞留時間 V/Q として表わすと、

$$\frac{L_e}{L_0} = e^{-K \cdot \frac{V}{Q}}$$

Q : 流入量 (m³/hr)

V : 受槽容量 (m³)

実験結果からBOD除去定数 K は、約0.12と示した。数値代入整理すると、

$$\frac{L_e}{L_0} = e^{-0.12 \frac{V}{Q}}$$

1) 生物膜に働く剪断力について、回転浮床体の側面、すなわち回転用板に付着した生物膜について、各点に働く剪断力と生物膜の厚さについて検討した。すなわち側面に働く剪断力は、図-3から次のように式で表わすことができる。半径 r の面を流す単位時間当りの流体の平均流速 v の運動量は、

$$r d\theta \int_0^h \rho C v r dz$$

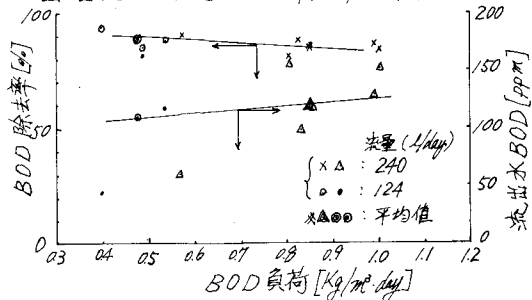
また、 $r dr$ から流れる流体の運動量は

$$r d\theta \int_0^h \rho C v r dz + \frac{d}{dt} (r d\theta \int_0^h \rho C v r dz) dr$$

表-1 実験結果

測定項目	流入水量 240L/day				流入水量 124L/day			
	流入水	流出水	除去率 (%)	流出水	流出水	除去率 (%)	流出水	
pH	6.28	7.90	(96)	6.63	8.07	(96)	(96)	
透明度	4.92	2.20		4.10	2.10			
色相	薄黒濁	黄濁		薄黒濁	黄濁			
COD _m (ppm)	405	278	31.1	0.123	408	276	32.4	
COD _{cr} (ppm)	1635	721	56.4	0.911	1590	688	57.5	
BOD (ppm)	867	121	86.0	0.726	946	113	88.1	
T-N (ppm)	632	71.7		78.6	81.8			
NH-N (ppm)	0	0		0	0			
MH-N (ppm)	53.5	59.3		63.8	67.9			
TS (ppm)	784	906		870	818			
DS (ppm)	646	602		734	664			
SS (ppm)	138	304		136	154			
水温 (°C)	15.9				15.2			
BOD負荷 (kg/m ³ day)	0.844				0.466			
BOD負荷 (kg/m ³ day)	9.0				5.1			

図-2. BOD負荷とBOD除去率の関係



出る流体と入る流体との差は、

$$\rho d\theta dr \frac{d}{dt} \int_0^{\theta} C_r d\theta dz$$

次に BC 面を通して流れる流体の運動量は、

$$dr \int_0^{\theta} \rho C_{\theta} dz$$

この半径方向の成分は

$$\frac{d\theta}{dt} dr \int_0^{\theta} \rho C_{\theta} dz$$

AD の面から流し出るもの半径方向の成分は、大きさ等しく反対方向である。よって流し出るもの入るものとの差は、

$$-\rho dr d\theta \int_0^{\theta} C_{\theta} dz$$

流体には円板の面に沿って、流れに反対方向に $-C_r r d\theta dr$ の力が働く。運動量の法則によつて、

$$-\frac{C_r r}{\rho} = \frac{d}{dt} \int_0^{\theta} C_r dz - \int_0^{\theta} C_{\theta} dz \quad (1)$$

接線方向については、 r, dr の 2 次元で限られた部分について考える。 r, θ の面を通して単位時間内に流れる流体の運動量の回転軸の周りのモーメントは、

$$2\pi r^2 \int_0^{\theta} \rho C_{\theta} dz$$

円板が容器中で回転する場合に、容器壁に付着するから、流体の回転の角速度は 0.54 rad/sec と報告されている。以上 (3), (4) 式を用いて、円板表面の側（切断方向）の接線方向の成分 C_{θ} を求めた。回転数 5.31 rpm で半径 20, 30, 40 cm の剪断力は、水温 15°C の時表-3 のように得た。ii) 生物膜の厚さについて、直接法として 1/20mm で測れるノギスで測定する方法と、間接法として μ の沈降速度より生物膜の密度を測定し、単位面積当たりの湿潤重量と生物膜密度で割って、生物膜の厚さを測定する方法の 2 通りを行った。半径 20 cm の所で、直接法では 0.069 cm、間接法では 0.072 cm とほぼ同じであった。直接法で測定を行ない、その結果を表-3 に示した。iii) 生物膜の厚さと剪断力の関係、表-3 より、生物膜の厚さと剪断力の関係を図に表わしたのが図-4 である。剪断力の増大に伴い、生物膜の厚さは直線的に減少していることが認められた。

4. 総括および結論

回転汚床について、BOD 負荷と浄化率の関係、剪断力と生物膜の厚さの関係について、一連の基礎的研究を行っているが、現在エリに得られた資料から次のことが明らかにされた。

- 1) BOD の浄化機構は一次反応に従うことが認められ、反応速度係数は 0.12 であった。
- 2) 生物膜の厚さは、線速度 8 ~ 13 cm/sec では 0.03 ~ 0.07 cm、同じ範囲に働く剪断力は $2 \sim 5 \times 10^{-3}$ kg/cm² であった。図-4 から生物膜と剪断力の関係を見ればこの範囲では、生物膜は直線的に減少することが認められる。つまりこの範囲の剪断力で生物膜は十分 slice されることがわかった。

好気性条件を維持するための生物膜の厚さは、如何程であるかは今後の研究にまたなければならぬが、少なくとも、著しい sloughing (unloading) 或は汚床の閉塞を避けることのできる薄くて効率のよい生物膜を維持するためには、観察結果を勘案して、相対速度が 13 cm/sec 以上あることがよいと考えられる。また、散水負荷と生物膜との関係、汚床の閉塞などについて基礎的研究をこまめに進めている。

また、 r, dr の面の面より流し出る流体では、

$$2\pi r \int_0^{\theta} \rho C_r dz + \frac{d}{dt} (2\pi r \int_0^{\theta} \rho C_r dz) dr$$

の増加を考えている部分の流体は、側方のモーメント等しい。E-面は C_{θ} によつて生じ、 $-2\pi r^2 dr C_{\theta}$ である。よつて運動量モーメントの法則によつて、

$$-\frac{C_r r}{\rho} = \frac{d}{dt} \int_0^{\theta} C_r dz \quad (2)$$

今、円板の回転の角速度を ω とし、 $C_{\theta} = \omega r$ (ここで ωr は比例する角速度 C_{θ} を用いて、 C_r, C_{θ} の速度分布は次のように仮定する) とおける。

$$C_r = C_0 \frac{r}{R} (1 - \frac{r^2}{R^2}), \quad C_{\theta} = \omega r (1 - \frac{r^2}{R^2})$$

よつては、 $C_r = \rho \nu \frac{C_{\theta}}{r}, \quad C_{\theta} = -2\rho \nu \frac{\omega r}{r}$ (3)

$$\int_0^{\theta} C_r dz = k_1 C_{\theta}^2, \quad \int_0^{\theta} C_{\theta} dz = k_2 \omega r, \quad \int_0^{\theta} C_r C_{\theta} dz = k_3 C_{\theta} \omega r$$

$$k_1 = \frac{1}{105}, \quad k_2 = \frac{1}{5}, \quad k_3 = \frac{1}{30}$$

である。さらに $\frac{\omega r}{\nu} = \Delta^2$ とおくと、式 (1), (2) より

$$\begin{cases} \frac{d\Delta^2}{dt} + \frac{6\omega d^2 - 2k_1 \Delta^4}{k_2 \nu^2} \Delta^2 = -\frac{2}{k_2 \nu} \\ \frac{d\Delta^2}{dt} + \frac{2\Delta^2}{r} = \frac{4}{k_3 \omega r} \end{cases}$$

よりの式を解くと、 $\Delta = 1.449, \quad \Delta^2 = 12.35, \quad \delta = 3.22 \sqrt{\frac{\nu}{\omega}}$ (4)

表-2 溶存酸素

	流量 240 l/day	流量 120 l/day
槽内	2.72	5.19
流出水	2.97	5.66

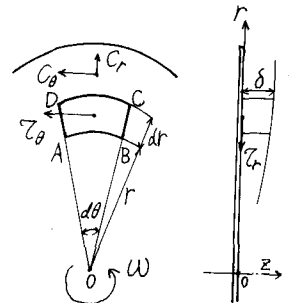


図-3

表-3 剪断力と生物膜の厚さの関係

半径 R (cm)	剪断力 τ_0 (kg/cm ²)	厚さ (cm)
20	2.3×10^{-3}	0.069
30	3.5×10^{-3}	0.051
40	4.7×10^{-3}	0.033

図-4 剪断力と生物膜厚さの関係

